

Scritto di FM210 del 20-1-2015

Soluzione Esercizio 1

1) L'equazione del moto, di Newton, del punto materiale è

$$m\ddot{x} = -V'(x) = -\frac{1}{2} \log \frac{1+x^2}{4}$$

mentre l'energia totale è data da

$$E = \frac{1}{2}m\dot{x}^2 + V(x)$$

e si conserva poiché

$$\dot{E} = m\dot{x}\ddot{x} + V'(x)\dot{x} = m\dot{x}\frac{-V'(x)}{m} + V'(x)\dot{x} = 0.$$

2) La funzione $\frac{x}{2} \log \frac{1+x^2}{4} + \arctan x - x$ è una funzione dispari con punti critici in $\pm\sqrt{3}$, che sono un massimo in $-\sqrt{3}$ dove la funzione vale

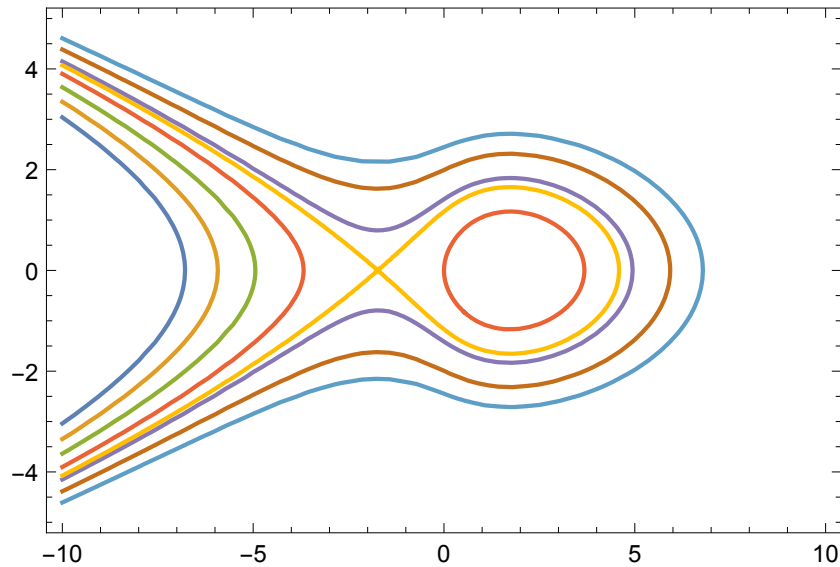
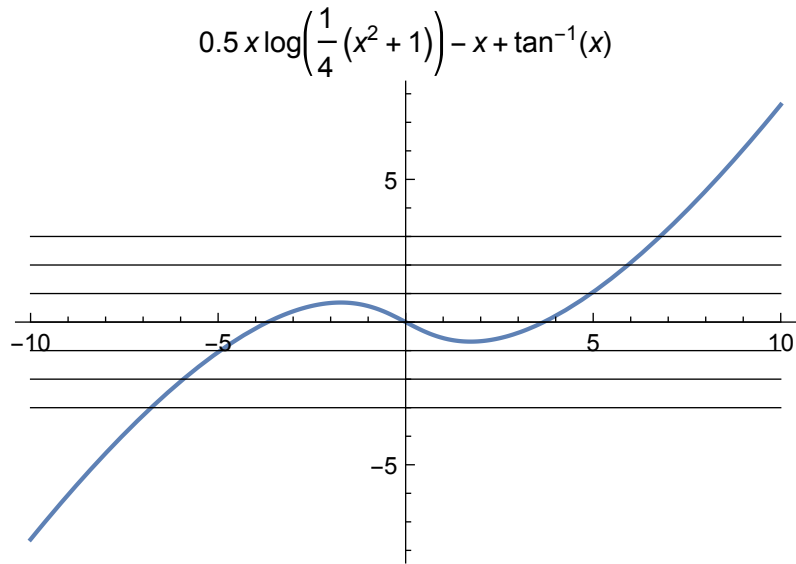
$$V(-\sqrt{3}) = \sqrt{3} - \arctan \sqrt{3}$$

e un minimo in $\sqrt{3}$ dove la funzione vale

$$V(\sqrt{3}) = -\sqrt{3} + \arctan \sqrt{3}.$$

Dunque possiamo concludere che ci sono 2 punti di equilibrio nello spazio delle fasi: $(\sqrt{3}, 0)$ che è stabile e $(-\sqrt{3}, 0)$ che è instabile.

3) Le orbite nello spazio delle fasi sono descritte dal seguente disegno



In particolare abbiamo orbite illimitate aperte per dati iniziali cui corrisponde un'energia totale $E < -\sqrt{3} + \arctan \sqrt{3}$ oppure $E > \sqrt{3} - \arctan \sqrt{3}$. Nel caso in cui $E = \sqrt{3} - \arctan \sqrt{3}$ (curva di livello gialla nel disegno) abbiamo 4 orbite: 3 orbite asintotiche di cui 2 illimitate corrispondenti a valori di $x < -\sqrt{3}$ ed una limitata, ed un'orbita coincidente col punto di equilibrio instabile $(-\sqrt{3}, 0)$ (punto di incrocio nel disegno).

- 4) I dati iniziali cui fa seguito un moto periodico sono quelli corrispondenti ad un'energia totale $E \in (-\sqrt{3} + \arctan \sqrt{3}, \sqrt{3} - \arctan \sqrt{3})$ con $x \in [x_-, x_+]$

avendo definito x_{\pm} le soluzioni dell'equazione $V(x) = E$, con

$$x_+ > x_- > -\sqrt{3}.$$

5) Per questi dati iniziali otteniamo per il periodo l'espressione

$$T = \sqrt{2m} \int_{x_-}^{x_+} \frac{dx}{\sqrt{(E - V(x))}} = \sqrt{2m} \int_{x_-}^{x_+} \frac{dx}{\sqrt{(E - \frac{x}{2} \log \frac{1+x^2}{4} - \arctan x + x)}}$$

Soluzione Esercizio 2

1) L'asta AB ruota intorno al suo baricentro e dunque

$$T_{AB} = \frac{1}{2} \frac{2m(2l)^2}{12} \dot{\theta}^2 = \frac{ml^2}{3} \dot{\theta}^2.$$

Per l'asta CD applichiamo il teorema di Koenig:

$$T_{CD} = \frac{1}{2} ml^2 \dot{\theta}^2 \left(\frac{1}{4} + 2 \sin^2 \theta \right) + \frac{1}{2} \frac{ml^2}{12} \dot{\theta}^2 = \frac{1}{2} ml^2 \dot{\theta}^2 \left(\frac{1}{3} + 2 \sin^2 \theta \right)$$

Per il punto P abbiamo

$$T_P = \frac{1}{2} 2m \dot{y}^2$$

L'energia potenziale è data da:

$$V = mg \frac{l}{2} \sin \theta + 2mgy + \frac{1}{2} K (l^2 \cos^2 \theta + (y + l \sin \theta)^2)$$

da cui, a meno di costanti ricaviamo la lagrangiana

$$\mathcal{L} = \frac{1}{2} ml^2 \dot{\theta}^2 (1 + 2 \sin^2 \theta) + m \dot{y}^2 - mg \frac{l}{2} \sin \theta - 2mgy - \frac{1}{2} K (y^2 + 2yl \sin \theta)$$

con equazioni del moto:

$$2m \ddot{y} = -2mg - Ky - Kl \sin \theta$$

$$ml^2 \ddot{\theta} (1 + 2 \sin^2 \theta) = -ml^2 \dot{\theta}^2 2 \sin \theta \cos \theta - mg \frac{l}{2} \cos \theta - Kyl \cos \theta$$

2) I punti di equilibrio corrispondono ai punti critici del potenziale:

$$\frac{\partial V}{\partial y} = 2mg + Ky + Kl \sin \theta = 0$$

$$\frac{\partial V}{\partial \theta} = mg \frac{l}{2} \cos \theta + Kly \cos \theta = 0$$

con soluzioni $(y_1, \theta_1) = (-l - \frac{2mg}{K}, \frac{\pi}{2})$, $(y_2, \theta_2) = (l - \frac{2mg}{K}, \frac{3}{2}\pi)$ e se $\lambda := \frac{3mg}{2Kl} < 1$ anche $(y_{3,4}, \theta_{3,4}) = (-\frac{mg}{2K}, \arcsin(-\lambda))$.

Per studiare la stabilità calcoliamo la matrice delle derivate seconde di $V(y, \theta)$:

$$V''(y, \theta) = \begin{pmatrix} K & Kl \cos \theta \\ Kl \cos \theta & -l \sin \theta [\frac{mg}{2} + Ky] \end{pmatrix}$$

Otteniamo per (y_1, θ_1)

$$V''(y_1, \theta_1) = \begin{pmatrix} K & 0 \\ 0 & -l[\frac{mg}{2} - Kl - 2mg] \end{pmatrix}$$

e dunque $(y_1, \theta_1, 0, 0)$ è stabile.

$$V''(y_2, \theta_2) = \begin{pmatrix} K & 0 \\ 0 & l[-\frac{3mg}{2} + Kl] \end{pmatrix}$$

e dunque $(y_2, \theta_2, 0, 0)$ è stabile se $\lambda < 1$ e instabile se $\lambda > 1$.

Se $\lambda < 1$ i per i punti $(y_{3,4}, \theta_{3,4}, 0, 0)$ abbiamo

$$V''(y_{3,4}, \theta_{3,4}) = \begin{pmatrix} K & Kl \cos \theta_{3,4} \\ Kl \cos \theta_{3,4} & 0 \end{pmatrix}$$

e dunque $(y_{3,4}, \theta_{3,4}, 0, 0)$ sono instabili.

Usando un argomento di continuità per il caso $\lambda = 1$ possiamo concludere :

- se $\lambda \geq 1$ i punti critici sono $(y_1, \theta_1, 0, 0)$ stabile e $(y_2, \theta_2, 0, 0)$ instabile;
- se $\lambda < 1$ i punti critici sono $(y_1, \theta_1, 0, 0)$ e $(y_2, \theta_2, 0, 0)$ stabili e $(y_{3,4}, \theta_{3,4}, 0, 0)$ instabili.

- 3) Intorno al punto (y_1, θ_1) abbiamo la lagrangiana delle piccole oscillazioni, espressa in termini delle variabili $\mathbf{q} := (y, \theta)$:

$$\mathcal{L}_{po} = \frac{1}{2}(\dot{\mathbf{q}}, A\dot{\mathbf{q}}) - \frac{1}{2}((\mathbf{q} - \mathbf{q}_0), V''(\mathbf{q}_0)(\mathbf{q} - \mathbf{q}_0)) \quad (1)$$

con $\mathbf{q}_0 = (y_1, \theta_1)$ ed

$$A = \begin{pmatrix} 2m & 0 \\ 0 & 3ml^2 \end{pmatrix}$$

- 4) Se il piano è posto in rotazione la lagrangiana nel sistema di riferimento rotante si ottiene da quella trovata al punto 1) sottraendo il potenziale centrifugo:

$$V_{centr} = -\frac{1}{2}\omega^2\rho \left[\int_{-l}^l (x \cos \theta)^2 dx + \int_0^l (l+x)^2 \cos^2 \theta dx \right] = -\frac{1}{2}\omega^2 ml^2 3 \cos^2 \theta.$$